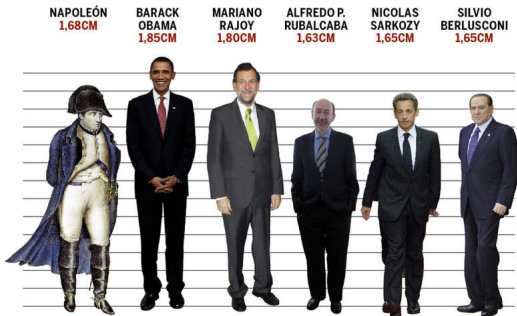


# Regresión cuantil lineal local Un novo paquete de R

Mercedes Conde Amboage



## Definición

Dada unha variable aleatoria  $X$ , pódese definir o **cuantil de orde**  $\tau$  como o valor que verifica :

$$\mathbb{P}(X \leq c_\tau) \geq \tau$$

$$\mathbb{P}(X \geq c_\tau) \geq 1 - \tau$$

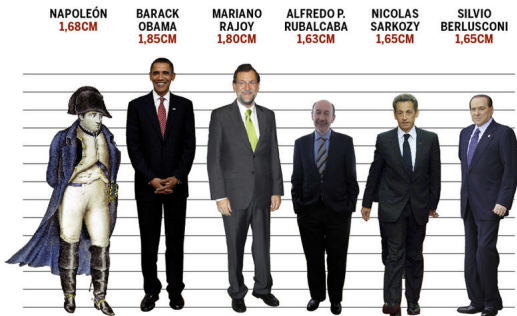
## Cálculo con R

```
> x=c(1.68,1.85,1.63,1.65,1.65)
```

```
> quantile(x,prob=c(0.25,0.5,0.75))
```

```
25% 50% 75%
```

```
1.65 1.65 1.68
```



## Definición

Dada unha variable aleatoria  $X$ , pódese definir o **cuantil de orde**  $\tau$  como o valor que verifica :

$$\mathbb{P}(X \leq c_\tau) \geq \tau$$

$$\mathbb{P}(X \geq c_\tau) \geq 1 - \tau$$

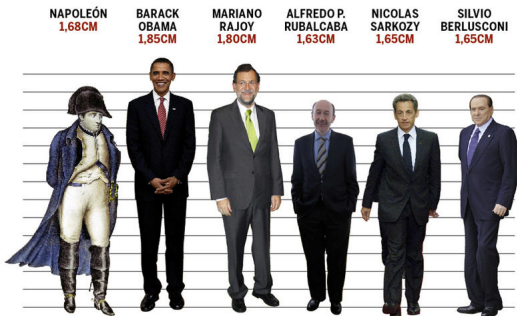
## Cálculo con R

```
> x=c(1.68,1.85,1.63,1.65,1.65)
```

```
> quantile(x,prob=c(0.25,0.5,0.75))
```

```
25% 50% 75%
```

```
1.65 1.65 1.68
```



## Definición

Dada unha variable aleatoria  $X$ , pódese definir o **cuantil de orde**  $\tau$  como o valor que verifica :

$$\mathbb{P}(X \leq c_\tau) \geq \tau$$

$$\mathbb{P}(X \geq c_\tau) \geq 1 - \tau$$

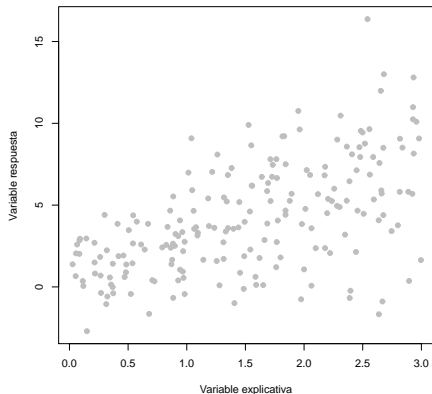
## Cálculo con R

```
> x=c(1.68,1.85,1.63,1.65,1.65)
```

```
> quantile(x,prob=c(0.25,0.5,0.75))
```

```
25% 50% 75%
```

```
1.65 1.65 1.68
```



## Regresión cuantil

Sexa un modelo de regresión

$$Y_i = X_i' \beta + \varepsilon_i$$

onde  $\mathbb{P}(\varepsilon_i \leq 0 | X) = \tau$ .

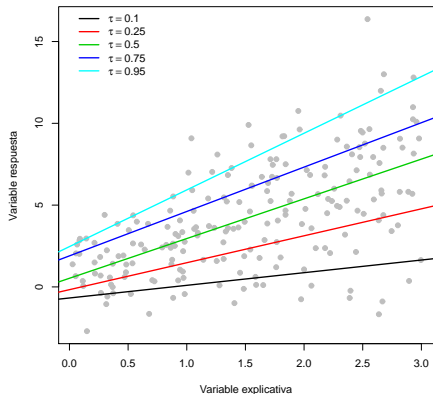
### ESTIMACIÓN

$$\hat{\beta} = \underset{\beta \in \mathbb{R}^{p+1}}{\text{mín}} \sum_{i=1}^n \rho_{\tau}(Y_i - X_i' \beta)$$

Función de perda cuantílica

### Cálculo con R

```
> library(quantreg)
> mod=rq(y ~ x, tau=0.5)
```



## Regresión cuantil

Sexa un modelo de regresión

$$Y_i = X_i' \beta + \varepsilon_i$$

onde  $\mathbb{P}(\varepsilon_i \leq 0 | X) = \tau$ .

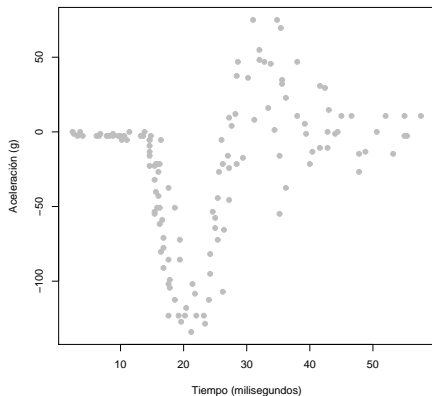
### ESTIMACIÓN

$$\hat{\beta} = \underset{\beta \in \mathbb{R}^{p+1}}{\text{mín}} \sum_{i=1}^n \rho_{\tau}(Y_i - X_i' \beta)$$

Función de perda cuantílica

### Cálculo con R

```
> library(quantreg)
> mod=rq(y ~ x, tau=0.5)
```



Regresión cuantil non  
paramétrica

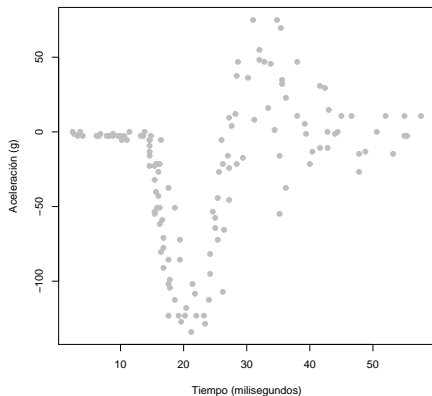
Sexa un modelo de regresión

$$Y_i = q_\tau(X_i) + \varepsilon_i$$

onde  $\mathbb{P}(\varepsilon_i \leq 0 | X) = \tau$ .

Regresión cuantil lineal local

$$\hat{q}_\tau(x) = \arg \min_a \sum_{i=1}^n \rho_\tau(Y_i - a - b(X_i - x)) K\left(\frac{x - X_i}{h_\tau}\right)$$



## Regresión cuantil non paramétrica

Sexa un modelo de regresión

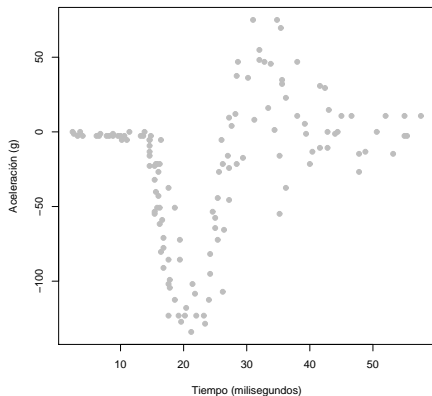
$$Y_i = q_\tau(X_i) + \varepsilon_i$$

onde  $\mathbb{P}(\varepsilon_i \leq 0 | X) = \tau$ .

## Regresión cuantil lineal local

$$\hat{q}_\tau(x) = \arg \min_a \sum_{i=1}^n \rho_\tau(Y_i - a - b(X_i - x)) K\left(\frac{x - X_i}{h_\tau}\right)$$





## Regresión cuantil non paramétrica

Sexa un modelo de regresión

$$Y_i = q_\tau(X_i) + \varepsilon_i$$

onde  $\mathbb{P}(\varepsilon_i \leq 0 | X) = \tau$ .

## Regresión cuantil lineal local

$$\hat{q}_\tau(x) = \arg \min_a \sum_{i=1}^n \rho_\tau(Y_i - a - b(X_i - x)) K\left(\frac{x - X_i}{h_\tau}\right)$$

## Regresión cuantil non paramétrica

Sexa un modelo de regresión

$$Y_i = q_\tau(X_i) + \varepsilon_i$$

onde  $\mathbb{P}(\varepsilon_i \leq 0 | X) = \tau$ .

## Regresión cuantil lineal local

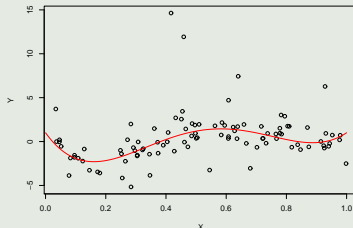
$$\hat{q}_\tau(x) = \arg \min_a \sum_{i=1}^n \rho_\tau(Y_i - a - b(X_i - x)) K\left(\frac{x - X_i}{h_\tau}\right)$$

## Erro cadrático medio (ECM)

$$ECM(\hat{q}_\tau(x)) \cong \frac{1}{4}h^4\mu_2(K)^2q''_\tau(x)^2 + \frac{R(K)\tau(1-\tau)}{nh_\tau g(x)f(q_\tau(x)|x)^2}$$

sendo:

- $g$  a densidade marxinal de  $X$
- $f(q_\tau(x)|x)$  a densidade condicional da resposta no cuantil
- $\mu_2(K) = \int u^2 K(u) du$
- $R(K) = \int K^2(u) du$



O parámetro de suavizado óptimo

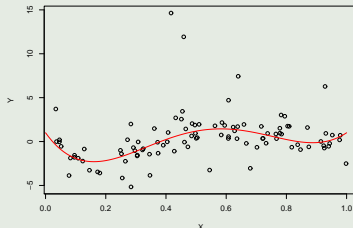
$$h_\tau^5 = \frac{R(K)\tau(1-\tau)}{n\mu_2(K)^2 \int q''_\tau(x)^2 g(x) dx} \int \frac{1}{f(q_\tau(x)|x)^2} dx$$

## Erro cadrático medio (ECM)

$$ECM(\hat{q}_\tau(x)) \cong \frac{1}{4}h^4\mu_2(K)^2q''_\tau(x)^2 + \frac{R(K)\tau(1-\tau)}{nh_\tau g(x)f(q_\tau(x)|x)^2}$$

sendo:

- $g$  a densidade marxinal de  $X$
- $f(q_\tau(x)|x)$  a densidade condicional da resposta no cuantil
- $\mu_2(K) = \int u^2 K(u) du$
- $R(K) = \int K^2(u) du$



## O parámetro de suavizado óptimo

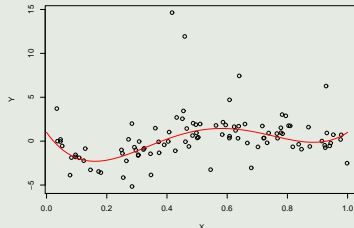
$$h_\tau^5 = \frac{R(K)\tau(1-\tau)}{n\mu_2(K)^2 \int q''_\tau(x)^2 g(x) dx} \int \frac{1}{f(q_\tau(x)|x)^2} dx$$

## Erro cadrático medio (ECM)

$$ECM(\hat{q}_\tau(x)) \cong \frac{1}{4}h^4\mu_2(K)^2q''_\tau(x)^2 + \frac{R(K)\tau(1-\tau)}{nh_\tau g(x)f(q_\tau(x)|x)^2}$$

sendo:

- $g$  a densidade marxinal de  $X$
- $f(q_\tau(x)|x)$  a densidade condicional da resposta no cuantil
- $\mu_2(K) = \int u^2 K(u) du$
- $R(K) = \int K^2(u) du$



## O parámetro de suavizado óptimo

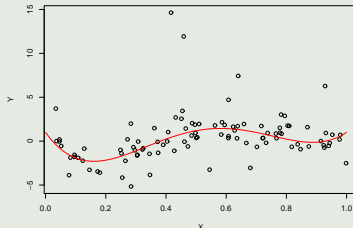
$$h_\tau^5 = \frac{R(K)\tau(1-\tau)}{n\mu_2(K)^2 \int q''_\tau(x)^2 g(x) dx} \int \frac{1}{f(q_\tau(x)|x)^2} dx$$

## Erro cadrático medio (ECM)

$$ECM(\hat{q}_\tau(x)) \cong \frac{1}{4}h^4\mu_2(K)^2q''_\tau(x)^2 + \frac{R(K)\tau(1-\tau)}{nh_\tau g(x)f(q_\tau(x)|x)^2}$$

sendo:

- $g$  a densidade marxinal de  $X$
- $f(q_\tau(x)|x)$  a densidade condicional da resposta no cuantil
- $\mu_2(K) = \int u^2 K(u) du$
- $R(K) = \int K^2(u) du$



## O parámetro de suavizado óptimo

$$h_\tau^5 = \frac{R(K)\tau(1-\tau)}{n\mu_2(K)^2 \int q''_\tau(x)^2 g(x) dx} \int \frac{1}{f(q_\tau(x)|x)^2} dx$$

# Package 'BwQuant'

May 10, 2016

**Type** Package

**Title** Bandwidth selectors for local linear quantile regression

**Version** 1.0

**Date** 2016-05-10

**Author** Mercedes Conde-Amboage and César Sánchez-Sellero

**Maintainer** Mercedes Conde-Amboage <mercedes.amboage@usc.es>

**Depends** quantreg, KernSmooth, numDeriv

**Description** Different bandwidth selectors for local linear quantile regression

**License** What license is it under? (GLP-2)

**Archs** i386, x64

## R topics documented:

BwQuant-package . . . . .	1
bwB . . . . .	2
bwCV . . . . .	2
bwP . . . . .	3
bwRT . . . . .	4
bwYJ . . . . .	5

**Index** 6

---

BwQuant-package	<i>Bandwidth selectors for local linear quantile regression</i>
-----------------	---

---

## Description

## Selector plug-in propuesto por Yu e Jones (1998)

Primeira suposición

$$q''_{\tau_1}(x) = q''_{\tau_2}(x)$$

Segunda suposición

Normalidade dos erros

$$h_{\tau} = \sqrt[5]{\frac{\tau(1-\tau)}{\phi(\Phi^{-1}(\tau))^2}} h_{media}$$

Cálculo con R

```
> data(mcycle)
> attach(mcycle)
> bwYJ(times, accel, 0.75)
```



## Selector plug-in proposto por Yu e Jones (1998)

Primeira suposición

$$q''_{\tau_1}(x) = q''_{\tau_2}(x)$$

Segunda suposición

Normalidade dos erros

$$h_{\tau} = \sqrt[5]{\frac{\tau(1-\tau)}{\phi(\Phi^{-1}(\tau))^2}} h_{media}$$

Cálculo con R

```
> data(mcycle)
> attach(mcycle)
> bwYJ(times, accel, 0.75)
```

## Selector plug-in proposto por Yu e Jones (1998)

Primeira suposición

$$q''_{\tau_1}(x) = q''_{\tau_2}(x)$$

Segunda suposición

Normalidade dos erros

$$h_{\tau} = \sqrt[5]{\frac{\tau(1-\tau)}{\phi(\Phi^{-1}(\tau))^2}} h_{media}$$

Cálculo con R

```
> data(mcycle)
> attach(mcycle)
> bwYJ(times, accel, 0.75)
```

## Selector basado en validación cruzada (Abberger (1998))

$$\hat{h}_{CV} = \arg \min_h \sum_{i=1}^n \rho_{\tau} \left( Y_i - \widehat{q}_{\tau,h}^i(X_i) \right)$$

clásico estimador **leave-one-out**

## Cálculo con R

```
> data(mcycle)
> attach(mcycle)
> hseq=seq(0.5,3,length=50)
> bwCV(times,accel,hseq,0.75)
```

## Selector basado en validación cruzada (Abberger (1998))

$$\hat{h}_{CV} = \arg \min_h \sum_{i=1}^n \rho_{\tau} \left( Y_i - \widehat{q}_{\tau,h}^i(X_i) \right)$$

clásico estimador **leave-one-out**

## Cálculo con R

```
> data(mcycle)
> attach(mcycle)
> hseq=seq(0.5,3,length=50)
> bwCV(times,accel,hseq,0.75)
```

# Selector baseado na regra do pulgar

## Procedemento

- Dividimos a mostra en bloques.
- En cada bloque axustamos un modelo cuantil de orde 4.
- Construimos **estimacións paramétricas** da curvatura e da sparsity.

$$\hat{h}_{RP} = \left( \frac{R(K)\tau(1-\tau)}{\mu_2(K)^2} \frac{\hat{s}^b(b-a)}{\hat{\theta}_{22}^b n} \right)^{1/5}$$

## Cálculo con R

```
> data(mcycle)
> attach(mcycle)
> bwRT(times, accel, 0.75)
```

# Selector baseado na regra do pulgar

## Procedemento

- Dividimos a mostra en bloques.
- En cada bloque axustamos un modelo cuantil de orde 4.
- Construimos **estimacións paramétricas** da curvatura e da sparsity.

$$\hat{h}_{RP} = \left( \frac{R(K)\tau(1-\tau)}{\mu_2(K)^2} \frac{\hat{s}^b(b-a)}{\hat{\theta}_{22}^b n} \right)^{1/5}$$

## Cálculo con R

```
> data(mcycle)
> attach(mcycle)
> bwRT(times, accel, 0.75)
```

# Selector baseado na regra do pulgar

## Procedemento

- Dividimos a mostra en bloques.
- En cada bloque axustamos un modelo cuantil de orde 4.
- Construimos **estimacións paramétricas** da curvatura e da sparsity.

$$\hat{h}_{RP} = \left( \frac{R(K)\tau(1-\tau)}{\mu_2(K)^2} \frac{\hat{s}^b(b-a)}{\hat{\theta}_{22}^b n} \right)^{1/5}$$

## Cálculo con R

```
> data(mcycle)
> attach(mcycle)
> bwRT(times, accel, 0.75)
```

# Novo selector plug-in

## Procedemento

- Construimos **estimacións non paramétricas** da curvatura e da sparsity sen asumir ningunha suposición.

$$\hat{h}_{PI} = \left( \frac{R(K)\tau(1-\tau)}{\mu_2(K)^2} \frac{\hat{s}_{\hat{h}_s, \hat{d}_s}}{\hat{\theta}_{22, \hat{h}_c} n} \right)^{1/5}$$

## Cálculo con R

```
> data(mcycle)
> attach(mcycle)
> bwPI(times, accel, 0.75)
```



# Novo selector plug-in

## Procedemento

- Construimos **estimacións non paramétricas** da curvatura e da sparsity sen asumir ningunha suposición.

$$\hat{h}_{PI} = \left( \frac{R(K)\tau(1-\tau)}{\mu_2(K)^2} \frac{\hat{s}_{\hat{h}_s, \hat{d}_s}}{\hat{\theta}_{22, \hat{h}_c} n} \right)^{1/5}$$

## Cálculo con R

```
> data(mcycle)
> attach(mcycle)
> bwPI(times, accel, 0.75)
```

# Novo selector plug-in

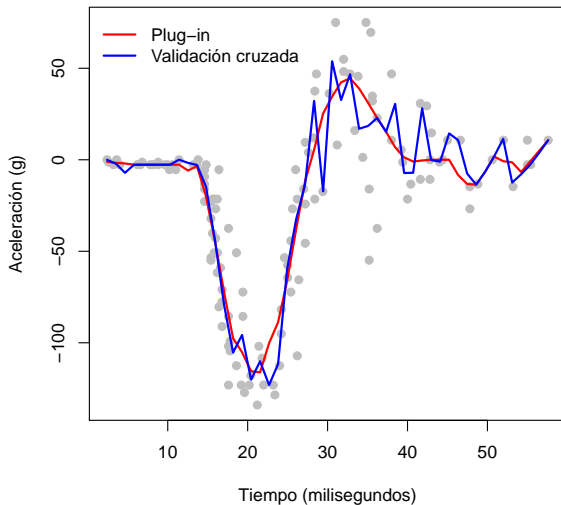
## Procedemento

- Construimos **estimacións non paramétricas** da curvatura e da sparsity sen asumir ningunha suposición.

$$\hat{h}_{PI} = \left( \frac{R(K)\tau(1-\tau)}{\mu_2(K)^2} \frac{\hat{s}_{\hat{h}_s, \hat{d}_s}}{\hat{\theta}_{22, \hat{h}_c} n} \right)^{1/5}$$

## Cálculo con R

```
> data(mcycle)
> attach(mcycle)
> bwPI(times, accel, 0.75)
```



**Figura:** Representación do axuste para diferentes selectores do parámetro de suavización asociados a  $\tau = 0.5$ .

# Regresión cuantil lineal local Un novo paquete de R

Mercedes Conde Amboage

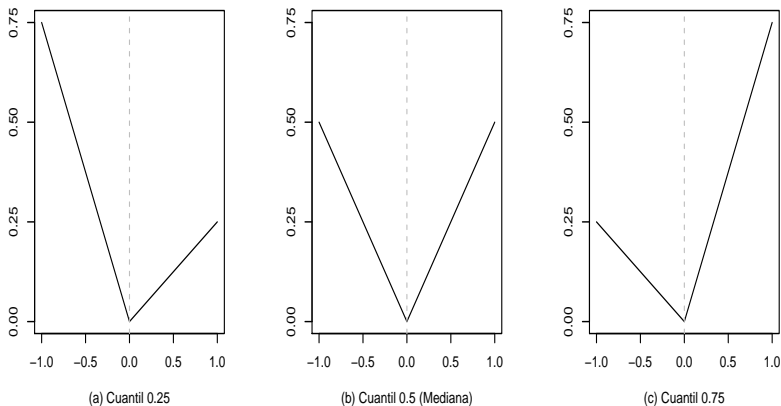


Figura: Representación da función de perda cuantílica para diferentes valores do cuantil de interese.

[Volver](#)